

А. Н. Морозов, А. В. Скрипкин

**ОПИСАНИЕ ПРОЦЕССА ТЕПЛОПРОВОДНОСТИ  
В СРЕДАХ С МИКРОСТРУКТУРОЙ**

*Рассмотрен процесс теплопроводности в пространстве вне сферической микрочастицы и микронити. Показано, что параметры, характеризующие изменения температуры и теплового потока представляют собой немарковские процессы в том случае, если имеют место флуктуации соответствующих величин. Найдены статистические характеристики указанных флуктуаций, в том числе характеристические функции и спектральные плотности.*

**E-mail: amor@mx.bmstu.ru, skripkin@bmstu.ru**

**Ключевые слова:** теплопроводность, микрочастица, микротрубка, статистические характеристики.

При изучении явлений теплопроводности в средах с микроструктурой часто приходится принимать во внимание случайные изменения физических величин (например, температуры на поверхности частицы или теплового потока), которые могут быть вызваны флуктуациями мощности тепловых источников, термодинамических потоков, коэффициентов теплопроводности и т. д. Описание процесса распространения тепла в этом случае обычно производят с помощью стохастических дифференциальных уравнений теплопроводности с определенными начальными и граничными условиями. Случайные процессы, описываемые такими уравнениями, имеют характер марковских, а для получения статистических характеристик флуктуаций физических величин может быть использована достаточно разработанная теория стохастических дифференциальных систем [1].

Однако такая модель случайных процессов часто является приближенной, т. е. она не учитывает, например, так называемые наследственные свойства реальных физических сред. Так, как было показано в работах [2, 3], более точное описание процессов броуновского движения, учитывающее увлечение броуновской частицей окружающих ее частиц вязкой среды или флуктуации кинетического коэффициента трения, приводит к немарковскому характеру флуктуаций импульса броуновской частицы.

В данной работе показано, что изучение явлений теплопроводности в средах с микроструктурой, содержащей микрочастицы и тонкие цилиндрические тела (микронити) требует применения стохастических интегральных уравнений, а флуктуации рассматриваемых физических величин в общем случае также будут являться немарковскими случайными процессами.

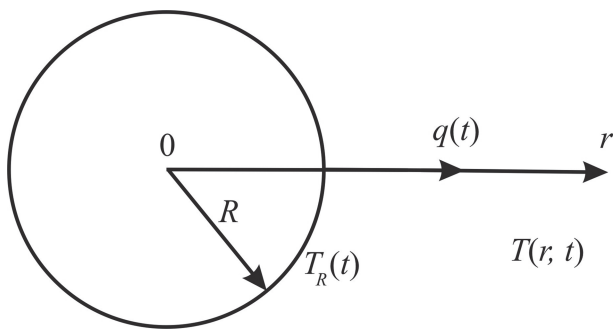


Рис. 1. Теплопроводность в среде вокруг сферической частицы

**Постановка задачи (случай микрочастицы).** Рассмотрим неподвижную сферическую частицу с радиусом  $R$ , теплопроводностью  $\chi_m$  и объемной теплоемкостью  $c_V$ , в центр которой поместим начало сферической системы координат (рис. 1). Температуру поверхности частицы будем считать некоторой функцией времени  $T_R(t)$ . Среду вне сферической частицы (при  $r > R$ ) считаем однородной с постоянными параметрами: плотностью  $\rho$ , теплопроводностью  $\kappa$  и температуропроводностью  $\chi$ , причем  $\chi \ll \chi_m$ . Начальная температура во всем пространстве равна некоторой постоянной величине  $T_0$ . Изменением радиуса сферической частицы вследствие изменения температуры пренебрегаем. Ясно, что в рассматриваемом случае температура среды будет зависеть только от расстояния до центра сферы  $r$  и времени  $t$ . Уравнение теплопроводности тогда примет вид

$$\frac{\partial T(r, t)}{\partial t} = \frac{\chi}{r} \frac{\partial^2 (rT(r, t))}{\partial r^2}, \quad (r > R) \quad (1)$$

с соответствующими граничным и начальным условиями

$$T(r, t)|_{r=R} = T_R(t), \quad (2)$$

$$T(r, t)|_{t=0} = T_0. \quad (3)$$

Для потока тепла  $q_T(t)$  через поверхность сферической оболочки радиуса  $R$  справедливо общее соотношение

$$q_T(t) = -\kappa \frac{\partial T(r, t)}{\partial r} \Big|_{r=R}. \quad (4)$$

Однако тот же поток  $q_T(t)$  при учете его флуктуаций через поверхность оболочки радиуса  $R$  может быть определен с помощью выражения

$$q_T(t) = -\frac{c_V R}{3} \frac{dT_R(t)}{dt} + \xi_{q_T}(t), \quad (5)$$

где  $\xi_{q_T}(t)$  – случайный тепловой поток (источник Ланжевена), свойства которого зависят от характера источника флуктуаций, причем  $\langle \xi_{q_T}(t) \rangle = 0$ . Отметим, что соотношение (5) справедливо для случая предполагаемой нами высокой тепловой проводимости частицы.

Во многих случаях можно считать, что поток  $\xi_{q_T}(t)$  представляет собой белый шум с интенсивностью  $\nu$ . Граничную частоту  $\omega_{\text{гр}}$  такого шума можно оценить с помощью характеризующих задачу параметров: радиуса частицы  $R$  и коэффициента температуропроводности материала частицы  $\chi_M$ , согласно

$$\omega_{\text{гр}} \sim \frac{\chi_M}{R^2}. \quad (6)$$

Для медной частицы с коэффициентом температуропроводности  $\chi_M = 10^{-4} \text{ м}^2/\text{с}$  и радиусом 10 мкм для величины  $\omega_{\text{гр}}$  получим значение порядка  $10^6 \text{ с}^{-1}$ .

Величину интенсивности  $\nu$  случайного теплового потока можно оценить по формуле

$$\nu \sim \frac{\kappa}{R^3} k_B T^2, \quad (7)$$

где  $k_B$  – постоянная Больцмана. Для рассматриваемой выше частицы, помещенной в воду, получим оценку  $\nu \sim 10^{-3} \text{ Дж}^2/\text{м}^4\text{с}$ .

**Стохастическое интегральное уравнение.** Решение поставленной задачи (1) – (3) будем искать с помощью введения вспомогательной функции  $f(r, t)$ , определяемой согласно

$$f(r, t) = rT(r, t). \quad (8)$$

В этом случае уравнения (1) – (3) запишем в виде

$$\frac{\partial f(r, t)}{\partial t} = \chi \frac{\partial^2 f(r, t)}{\partial r^2} \quad (r > R), \quad (9)$$

$$f(r, t)|_{r=R} = RT_R(t), \quad (10)$$

$$f(r, t)|_{r=0} = T_0 r. \quad (11)$$

Последние выражения формально соответствуют одномерному уравнению теплопроводности для величины  $f(r, t)$ . Решение подобного рода задач представляет собой, как известно [4], сумму двух слагаемых. Первое слагаемое связано с наличием первоначального распре-

деления температуры (и не зависит от соответствующих изменений температуры на границах), второе – обязано присутствием граничных функций температур или потоков. Из физических соображений ясно, что в рассматриваемой задаче, ввиду наличия термодинамического равновесия в начальный момент времени, неслучайная составляющая потока тепла через границу среды, вызванная начальным распределением температуры, будет иметь нулевое значение. Имея это в виду, решение задачи (9) – (11) запишем с помощью выражения

$$f(r, t) = \frac{R}{2\sqrt{\pi\chi}} \int_0^t \frac{r-R}{(t-\tau)^{3/2}} \exp\left[-\frac{(r-R)^2}{4\chi(t-\tau)}\right] T_R(\tau) d\tau. \quad (12)$$

Для получения уравнения, определяющего величину теплового потока  $q_T(t)$ , воспользуемся соотношением, следующим из (4) и (8):

$$\left. \frac{\partial f(r, t)}{\partial r} \right|_{r=R} = -\frac{R}{\kappa} q_T(t) + T_R(t), \quad (13)$$

где производную  $\frac{\partial f(r, t)}{\partial r}$  определим из формулы (12). Получим

$$\frac{\partial f(r, t)}{\partial r} = \frac{R}{2\sqrt{\pi\chi}} \int_0^t \left[ \frac{1}{(t-\tau)^{3/2}} - \frac{2(r-R)^2}{4\chi(t-\tau)^{5/2}} \right] \exp\left[-\frac{(r-R)^2}{4\chi(t-\tau)}\right] T_R(\tau) d\tau. \quad (14)$$

Интегрирование по частям позволяет записать последнее выражение в виде

$$\frac{\partial f(r, t)}{\partial r} = -\frac{R}{\sqrt{\pi\chi}} \int_0^t \frac{1}{\sqrt{t-\tau}} \exp\left[-\frac{(r-R)^2}{4\chi(t-\tau)}\right] \frac{dT_R(\tau)}{d\tau} d\tau. \quad (15)$$

Нахождение из формулы (15) величины  $\left. \frac{\partial f(r, t)}{\partial r} \right|_{r=R}$  и ее подстановка в (13) приводит к следующему соотношению:

$$q_T(t) = \frac{\kappa}{\sqrt{\pi\chi}} \int_0^t \left( \frac{1}{\sqrt{t-\tau}} + \frac{\sqrt{\pi\chi}}{R} \right) \frac{dT_R(\tau)}{d\tau} d\tau. \quad (16)$$

Введем замены

$$Z(t) = \frac{dT_R(t)}{dt}, \quad \tilde{\xi}_{q_T} = \frac{3}{c_V R} \xi_{q_T} \quad (17)$$

и воспользуемся выражением (5), получим искомое соотношение, связывающее случайный тепловой поток  $\xi_{q_T}(t)$  через границу сферической оболочки и производную температуры  $T_R(t)$  на поверхности по

времени, имеющее вид интегрального уравнения Вольтерры второго рода:

$$Z(t) + \frac{3\kappa}{c_V R \sqrt{\pi\chi}} \int_0^t \left( \frac{1}{\sqrt{t-\tau}} + \frac{\sqrt{\pi\chi}}{R} \right) Z(\tau) d\tau = \tilde{\xi}_{q_T}(t). \quad (18)$$

Полученное уравнение (18), ядро которого представляет собой сумму слагаемого абелевого типа и постоянной величины, не может быть сведено к конечной системе стохастических дифференциальных уравнений [5]. Таким образом, случайные процессы  $Z(t)$  и  $q_T(t)$ , а также флуктуации температуры  $T_R(t)$ , представляющей собой интеграл по времени от функции  $Z(t)$ , являются немарковскими [6].

Отметим, что уравнение, аналогичное (18), получено при описании броуновского движения сферической частицы в вязкой среде при учете увлечения ею окружающих частиц среды [2].

Заметим также, что выражение (18) справедливо при описании одномерного процесса теплопроводности в полупространстве над поверхностью плоского слоя конечной толщины. Действительно, рассмотрим сферическую оболочку радиуса  $R$  и толщины  $h$ , такой, что  $h \ll R$ . Теплоемкость  $C$  такой оболочки определяется равенством  $C = c_V 4\pi R^2 h$ . Вводя величину  $c_S = \frac{C}{4\pi R^2} = c_V h$ , представляющую теплоемкость оболочки, отнесенную к единице площади ее поверхности,

вместо формулы (5) получим равенство  $q_T(t) = -\frac{c_V 4\pi R^2 h}{4\pi R^2} \frac{dT_R(t)}{dt} +$

$+\xi_{q_T}(t) = -c_S \frac{dT_R(t)}{dt} + \xi_{q_T}(t)$ . Тогда для интегрального стохастического уравнения, описывающего процесс распространения тепла в среде, ограниченной бесконечным плоским слоем, вместо соотношения (18) получим выражение

$$Z(t) + \frac{\kappa}{c_S \sqrt{\pi\chi}} \int_0^t \frac{1}{\sqrt{t-\tau}} Z(\tau) d\tau = \tilde{\xi}_{q_T}(t), \quad (19)$$

где  $c_S$  – теплоемкость единицы площади рассматриваемого плоского слоя.

Общий вид решения (18) можно представить с помощью интегрального оператора

$$Z(t) = \tilde{\xi}_{q_T}(t) + \int_0^t K(t-\tau) \tilde{\xi}_{q_T}(\tau) d\tau, \quad (20)$$

где  $K(t-\tau)$  – резольвента для уравнения (18), которая может быть записана с помощью бесконечного ряда [7]:

$$K(t-\tau) = \sum_{n=1}^{\infty} u_n(t-\tau), \quad (21)$$

в котором

$$u_{n+1}(t-\tau) = -\int_{\tau}^t u_1(t-s)u_n(s-\tau) ds, \quad (22)$$

$$u_1(t-\tau) = \frac{3\kappa}{c_V R \sqrt{\pi\chi}} \left( \frac{1}{\sqrt{t-\tau}} + \frac{\sqrt{\pi\chi}}{R} \right). \quad (23)$$

Расчет по формуле (22) показывает, что для не слишком больших значений  $t - \tau$  ряд (21) с достаточной точностью может быть определен с помощью суммы первых его членов. На рис. 2 изображен график функции  $K(t - \tau)$ , для случая, когда сохранены первые десять слагаемых (все постоянные приняты за единицу). Хорошо видно, что график убывает с ростом параметра  $t - \tau$ . Аппроксимируя его степенной функцией, получим в приближении зависимость

$$K(t-\tau) = 0,61(t-\tau)^{-0,57}. \quad (24)$$

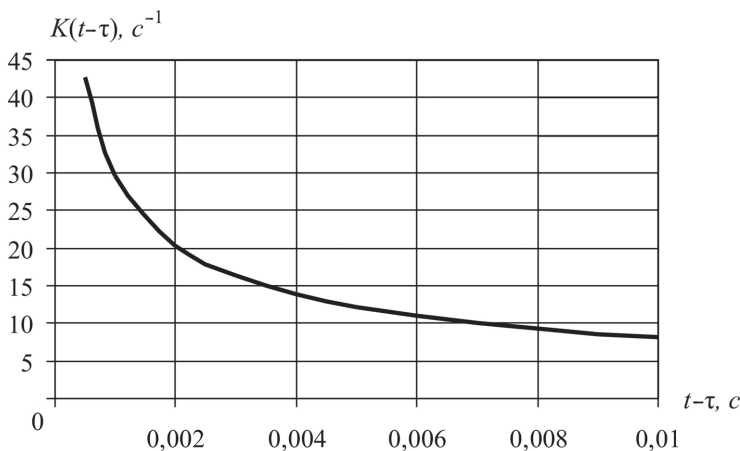


Рис. 2. Схематический вид функции  $K(t - \tau)$

В частном случае теплопроводности над плоскостью (при  $R = \infty$ ) ряд (21) принимает такой вид [8]:

$$K(t-\tau) = \frac{1}{t-\tau} \sum_{n=1}^{\infty} (-1)^n \alpha_n (t-\tau)^{n/2}, \quad (25)$$

где

$$\alpha_n = \frac{1}{\Gamma(n/2)} \left( \frac{3\kappa}{c_V R \sqrt{\chi}} \right)^n. \quad (26)$$

В последнем выражении  $\Gamma(x)$  – гамма-функция.

**Статистические характеристики.** С помощью метода, изложенного в работе [9], для одномерной  $g_1(\lambda; t)$  и многомерной  $g_L(\lambda_1, \dots, \lambda_L; t_1, \dots, t_L)$  характеристических функций случайного процесса  $Z(t)$  справедливы соотношения

$$g_1(\lambda; t) = \exp \left[ -\frac{9\nu\lambda^2}{2c_V^2 R^2} \int_0^t K^2(t-\tau) d\tau \right], \quad (27)$$

$$\begin{aligned} g_L(\lambda_1, \dots, \lambda_L; t_1, \dots, t_L) &= \\ &= \exp \left[ -\frac{9\nu}{c_V^2 R^2} \sum_{\substack{l, k=1, \\ k \leq l}}^L \lambda_l \lambda_k \int_0^{t_k} K(t_l - \tau) K(t_k - \tau) d\tau \right]. \end{aligned} \quad (28)$$

Следует заметить, что в полученных выражениях (20), (27), (28), а также в последующих, предел интегрирования по времени ограничен фактически не значением  $t$ , а величиной  $t - \delta t$ , где  $\delta t$  – малый параметр, близкий к времени свободного пробега частиц среды. Это вызвано отсутствием физического влияния на флуктуации рассматриваемых величин тех процессов, которые происходят при  $t - \tau < \delta t$ .

Найденные формулы (27) и (28) позволяют определить моменты любого порядка для процесса  $Z(t)$ . В частности, для математического ожидания  $\langle Z(t) \rangle$ , момента второго порядка  $\langle Z(t_1)Z(t_2) \rangle$  и дисперсии  $\sigma^2(t) = \langle Z^2(t) \rangle$ , получим

$$\langle Z(t) \rangle = \left. \frac{\partial g_1(\lambda; t)}{i\partial\lambda} \right|_{\lambda=0} = 0, \quad (29)$$

$$\begin{aligned} \langle Z(t_1)Z(t_2) \rangle &= \left. \frac{\partial^2 g_2(\lambda_1, \lambda_2; t_1, t_2)}{i\partial\lambda_1 i\partial\lambda_2} \right|_{\substack{\lambda_1=0, \\ \lambda_2=0}} = \\ &= \frac{9\nu}{c_V^2 R^2} \int_0^{t_1} K(t_2 - \tau) K(t_1 - \tau) d\tau, \end{aligned} \quad (30)$$

$$\sigma^2(t) = \langle Z^2(t) \rangle = \langle Z(t)Z(t) \rangle = \frac{9\nu}{c_V^2 R^2} \int_0^t K^2(t-\tau) d\tau. \quad (31)$$

Уравнение (27) позволяет найти также одномерную плотность вероятности  $p(Z)$  флуктуаций величины  $Z(t)$  с помощью определения [1]

$$p(Z) = \frac{1}{2\pi} \int_{-\infty}^{\infty} g_1(\lambda; t) e^{-i\lambda Z} d\lambda. \quad (32)$$

Получим

$$p(Z) = \frac{1}{\sqrt{2\pi\sigma^2(t)}} \exp\left(-\frac{Z^2}{2\sigma^2(t)}\right), \quad (33)$$

что соответствует нормальному распределению Гаусса. Из выражения (31) видно, что дисперсия величины  $Z(t)$  растет с течением времени, из чего следует «размывание» плотности вероятности  $p(Z)$  при увеличении  $t$ .

Найдем теперь спектральные плотности флуктуаций величины  $Z(t)$ , температуры поверхности  $T_R(t)$  и теплового потока  $q_T(t)$ . Для этого проведем преобразование Лапласа исходного интегрального уравнения (18). Имеем

$$\hat{Z}(p) + \frac{3\kappa}{c_V R \sqrt{\chi}} \left( \frac{1}{\sqrt{p}} + \frac{\sqrt{\chi}}{Rp} \right) \hat{Z}(p) = \hat{\xi}_{q_T}(p), \quad (34)$$

где символами со «шляпкой» обозначены образы соответствующих функций,  $p$  – фурье-образ переменной  $t$ .

С помощью определения спектральной плотности установившегося случайного процесса (при  $t = \infty$ ), согласно которому

$$G_Z(\omega) = \left| \hat{Z}(i\omega) \right|^2, \quad (35)$$

а также при учете того факта, что спектральная плотность белого шума равна его интенсивности, для спектральной плотности флуктуаций  $Z(t)$  получим

$$G_Z(\omega) = \frac{\omega^2}{\frac{c_V^2 R^2 \omega^2}{9} + \frac{\sqrt{2\kappa c_V} R}{3\sqrt{\chi}} \omega^{3/2} + \frac{\kappa^2}{\chi} \omega + \frac{\sqrt{2\kappa}}{R\sqrt{\chi}} \omega^{1/2} + \frac{\kappa^2}{R^2}} \nu. \quad (36)$$

Из выражения (36), используя (17) и формулу (5), находим спектральные плотности флуктуаций  $T_R(t)$  и  $q_T(t)$ :

$$G_{T_R}(\omega) = \frac{1}{\frac{c_V^2 R^2 \omega^2}{9} + \frac{\sqrt{2\kappa c_V} R}{3\sqrt{\chi}} \omega^{3/2} + \frac{\kappa^2}{\chi} \omega + \frac{\sqrt{2\kappa}}{R\sqrt{\chi}} \omega^{1/2} + \frac{\kappa^2}{R^2}} \nu, \quad (37)$$



$$G_{T_R}(\omega) = \left( 1 + \frac{\frac{c_V^2 R^2 \omega^2}{9} + \frac{\sqrt{2} \kappa c_V R}{3\sqrt{\chi}} \omega^{3/2}}{\frac{\kappa^2}{\chi} \omega + \frac{\sqrt{2} \kappa}{R\sqrt{\chi}} \omega^{1/2} + \frac{\kappa^2}{R^2}} \right)^{-1} \nu. \quad (38)$$

На рис. 3 и 4 представлены зависимости (37) и (38) для различных значений радиуса  $R$ . При построении графиков параметр  $\nu$  рассчитывался согласно выражению (7). Из рис. 3 видно, что с увеличением радиуса  $R$  графики спектральной плотности  $G_{T_R}(\omega)$  флуктуаций температуры  $T_R(t)$  располагаются ниже аналогичных графиков, соответствующих меньшим по размеру частицам. Последнее означает уменьшение дисперсии флуктуаций температуры сферической частицы с ростом ее радиуса. Спектральная плотность  $G_{T_R}(\omega)$  в области низких частот оказывается обратно пропорциональной радиусу:

$$G_{T_R}(\omega) \Big|_{\omega \rightarrow 0} = \frac{R^2 \nu}{\kappa^2} \sim \frac{k_B T^2}{\kappa R}. \quad (39)$$

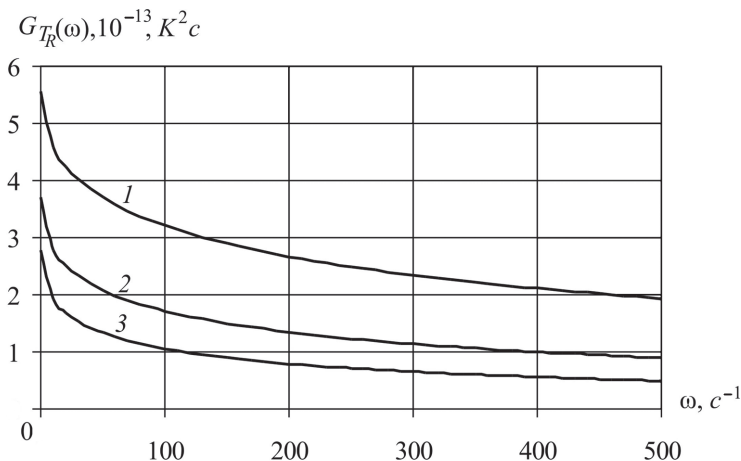


Рис. 3. Спектральная плотность флуктуаций температуры поверхности медной частицы  $G_{T_R}(\omega)$  при  $R = 10$  мкм (1),  $R = 12,5$  мкм (2),  $R = 15$  мкм (3)

Таким образом, рассмотрение процесса теплопроводности вне сферической поверхности и в полупространстве требует для описания флуктуаций соответствующих физических величин применения интегральных стохастических уравнений, а сами флуктуации в этом случае представляют собой немарковские случайные процессы. Полученные результаты имеют значение при описании случайных флуктуаций температуры микрочастиц в средах с малой теплопроводностью.

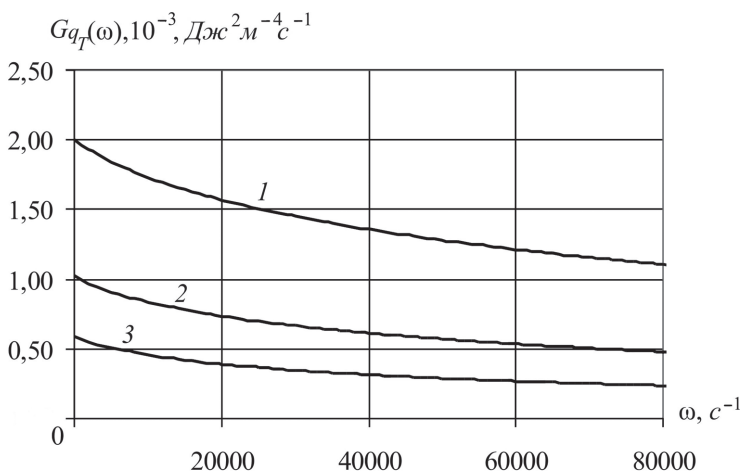


Рис. 4. Спектральная плотность флуктуаций теплового потока через поверхность медной частицы  $G_{q_T}(\omega)$  при  $R = 10$  мкм (1),  $R = 12,5$  мкм (2),  $R = 15$  мкм (3)

**Постановка задачи (цилиндрический случай).** Рассмотрим бесконечно протяженное цилиндрическое тело радиусом  $R$ , изготовленное из хорошо проводящего материала с объемной теплоемкостью  $C_V$  и температуропроводностью  $\chi_c$ , находящееся в неограниченной теплопроводящей среде с теплопроводностью  $\kappa$  и температуропроводностью  $\chi$  (рис. 5). Будем считать, что температура поверхности цилиндра в данный момент времени всюду одинакова и является

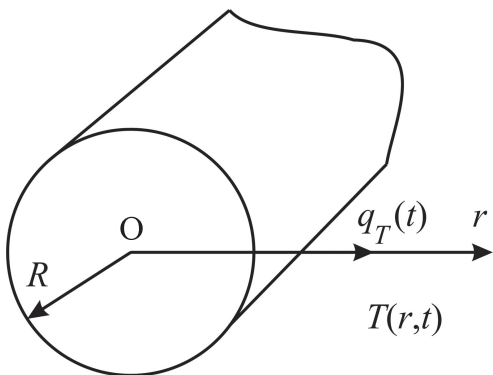


Рис. 5. Теплопроводность в пространстве, окружающем цилиндрическую поверхность

некоторой функцией времени  $T(R, t) = T_R(t)$ . Заметим, что в случае реальных сред такое условие соответствует цилиндрическим телам не очень большого радиуса  $R$  при рассмотрении явления теплопроводности на расстояниях, меньших или порядка  $R$  от поверхности цилиндра. Будем также считать, что в начальный момент времени температура во всем пространстве, включая температуру материала цилиндра, была одинакова и равна нулю.

В рамках сделанных предположений температура среды вне цилиндра зависит только от расстояния до его оси симметрии и подчиняется дифференциальному уравнению теплопроводности вида

$$\frac{\partial T(r,t)}{\partial t} = \chi \left( \frac{\partial^2 T(r,t)}{\partial r^2} + \frac{1}{r} \frac{\partial T(r,t)}{\partial r} \right). \quad (40)$$

Начальные и граничные условия задаются соответственно выражениями

$$T(r,t)|_{t=0} = 0, \quad (41)$$

$$T(r,t)|_{r=R} = T_R(t). \quad (42)$$

Тепловой поток через поверхность цилиндрического тела  $q_T(t)$  определяется общим соотношением

$$q_T(t) = -\kappa \frac{\partial T(r,t)}{\partial r} \Big|_{r=R} + \xi_{q_T}(t), \quad (43)$$

где функция  $\xi_{q_T}(t)$  представляет собой случайный тепловой поток, обусловленный указанными ранее причинами, статистические свойства которого определяются характером источника флуктуаций. Также он может быть определен согласно уравнению

$$q_T(t) = -\frac{C_V R}{2} \frac{dT_R(t)}{dt}. \quad (44)$$

Следует отметить, что выражение (44) справедливо для случая предполагаемого нами наличия высокой тепловой проводимости материала цилиндра по сравнению с проводимостью среды, т. е. при условии  $\chi \ll \chi_c$ .

Функция  $\xi_{q_T}(t)$  во многих случаях может быть представлена в виде белого шума с интенсивностью  $\nu$ , ограниченного сверху некоторой предельной частотой  $\omega_{\max}$ , которую с точностью до постоянной можно оценить с помощью формулы

$$\omega_{\max} \sim \frac{\chi_c}{R^2}. \quad (45)$$

Для оценки величины  $\omega_{\max}$  будем считать цилиндр изготовленным из меди (для которой коэффициент температуропроводности  $\chi_c = 10^{-4} \text{ м}^2/\text{с}$ ) и имеющим радиус  $R = 10 \text{ мкм}$ . Получим, что  $\omega_{\max} \sim 10^6 \text{ с}^{-1}$ . Таким образом, белый шум, характерный для флуктуаций теплового потока через цилиндрическую поверхность, оказывается широкополосным по спектру.

Можно также оценить величину интенсивности  $\nu$  сверху. Действительно, если  $\varepsilon = kT_0/2$  – энергия частицы среды, приходящаяся на одну кинетическую степень свободы,  $l = \sqrt[3]{m/\rho}$  – среднее расстояние

между частицами,  $\delta t = l\sqrt{\varepsilon/m}$  – характерное время, по порядку величины равное времени свободного движения, где  $m$  и  $\rho$  – масса частиц среды и ее плотность,  $k$  – постоянная Больцмана, то значение  $v$  сверху определяется формулой

$$v \sim \frac{\varepsilon^2}{l^4 \delta t}. \quad (46)$$

При температуре  $T_0 = 300$  К для меди оценка, представленная в выражении (46), приводит к величине интенсивности  $v \sim 10^3$  Дж<sup>2</sup>/(м<sup>4</sup>·с).

**Стохастическое интегральное уравнение.** Можно показать, что если в некоторый момент времени  $\tau$  на каждой единице длины рассматриваемой цилиндрической поверхности мгновенно выделилось тепло  $Q(\tau)$ , то температуру среды при  $r > R$  в момент времени  $t$  можно определить с помощью выражения [4]

$$T(r, t) = \frac{\chi}{\kappa} Q(\tau) G(r, R, t - \tau), \quad (47)$$

где  $G(r, R, t - \tau)$  – функция влияния мгновенного цилиндрического источника тепла (функция Грина), определяемая согласно следующей формуле:

$$G(r, R, t - \tau) = \frac{1}{4\pi\chi(t - \tau)} \exp\left(-\frac{r^2 + R^2}{4\chi(t - \tau)}\right) I_0\left(\frac{Rr}{2\chi(t - \tau)}\right), \quad (48)$$

где  $I_0(x)$  – модифицированная функция Бесселя нулевого порядка.

Отметим, что  $Q(\tau)\delta(t - \tau) = 2\pi R q_T(t)$ . Тогда в случае произвольного теплового потока через поверхность цилиндра  $q_T(t)$ , температура на расстоянии  $r$  от оси симметрии цилиндра будет определяться с помощью интеграла

$$T(r, t) = \frac{R}{2\kappa} \int_0^t \frac{q_T(\tau)}{t - \tau} \exp\left(-\frac{r^2 + R^2}{4\chi(t - \tau)}\right) I_0\left(\frac{Rr}{2\chi(t - \tau)}\right) d\tau. \quad (49)$$

Найдем производную  $\frac{\partial T(r, t)}{\partial r}$ , воспользовавшись выражением

(49) и тем, что  $\frac{\partial I_0(z)}{\partial z} = I_1(z)$ . Получим

$$\begin{aligned} \frac{\partial T(r, t)}{\partial r} &= \frac{R}{4\chi\kappa} \int_0^t \frac{q_T(\tau)}{(t - \tau)^2} \exp\left(-\frac{r^2 + R^2}{4\chi(t - \tau)}\right) \times \\ &\times \left[ R I_1\left(\frac{Rr}{2\chi(t - \tau)}\right) - r I_0\left(\frac{Rr}{2\chi(t - \tau)}\right) \right] d\tau. \end{aligned} \quad (50)$$

Из полученного соотношения (50), при учете формул (43) и (44), находим

$$\frac{C_V R}{2} \int_0^t K(t-\tau) Z(\tau) d\tau = \xi_{q_T}(t), \quad (51)$$

где введены обозначения для скорости изменения температуры поверхности цилиндра

$$Z(t) = \frac{dT_R(t)}{dt} \quad (52)$$

и ядра интегрального уравнения (51)

$$K(t-\tau) = \delta(t-\tau) + \frac{R^2}{4\chi(t-\tau)^2} \exp\left(-\frac{R^2}{2\chi(t-\tau)}\right) \times \\ \times \left[ I_1\left(\frac{R^2}{2\chi(t-\tau)}\right) - I_0\left(\frac{R^2}{2\chi(t-\tau)}\right) \right]. \quad (53)$$

Таким образом, процесс распространения тепла в пространстве, окружающем цилиндрическую поверхность радиуса  $R$ , при наличии случайного теплового потока через нее, описывается стохастическим интегральным уравнением Вольтерры второго рода (51), что означает немарковский характер флуктуаций величины  $Z(t)$ , следовательно, и флуктуаций температуры поверхности цилиндра  $T_R(t)$  и потока  $q_T(t)$ .

Заметим, что при больших значениях радиуса  $R$  выражение (53) может быть записано с помощью приближенной формулы [10]

$$K(t-\tau) = \delta(t-\tau) + \frac{\sqrt{\chi}}{R\sqrt{\pi(t-\tau)}}, \quad (54)$$

при подстановке которой в уравнение (51) вместо соотношения (53) получим интегральное уравнение вида

$$\frac{C_V R}{2} Z(t) + \frac{\kappa}{\sqrt{\pi\chi}} \int_0^t \frac{1}{\sqrt{t-\tau}} Z(\tau) d\tau = \xi_{q_T}(t), \quad (55)$$

представленное в [11] применительно к явлению теплопроводности в полупространстве над плоской поверхностью. Действительно, рассмотрим цилиндрическую оболочку радиуса  $R$  и толщины  $h$ , такой, что  $h \ll R$ . Тогда взамен уравнения (5) получим выражение  $q_T(t) = -C_V h \frac{dT_R(t)}{dt} + \xi_{q_T}(t)$ . Принимая во внимание то, что произведение  $C_V h$  представляет собой теплоемкость единицы поверхности

такой оболочки  $C_S$ , то вместо величины  $\frac{C_V R}{2}$  в (55) следует подставить значение  $C_S$ , что и приводит к рассмотренному в [11] интегральному уравнению, описывающему теплопроводность в полупространстве, ограниченном плоской поверхностью.

Отметим также, что в том случае, если основным источником теплопроводности является теплоперенос, то верхний предел интегрирования в уравнении (51) следует считать равным  $t - \delta t$ , где  $\delta t$  – малый параметр по порядку величины равный времени свободного движения частиц теплопроводящей среды.

**Случай белого шума флуктуаций теплового потока через цилиндрическую поверхность малого радиуса.** Рассмотрим теплопроводность в среде, окружающей цилиндрическую оболочку, в случае,

когда параметр  $\frac{R^2}{\chi} \ll 1$ , что, как видно из выражения (45), соответствует случаю очень большой граничной частоты спектра флуктуаций теплового потока через цилиндрическую поверхность (белый шум).

Положив также  $t - \tau > \delta t$ , после разложения модифицированных функций Бесселя и экспоненты в ряд и удержания первых слагаемых разложения, получим

$$Z(t) - \frac{R^2}{4\chi} \int_0^t \frac{1}{(t-\tau)^2} Z(\tau) d\tau = \frac{2}{C_V R} \xi_{qr}(t). \quad (56)$$

Решение интегрального уравнения Вольтерры второго рода (56) в общем случае [7] можно записать в виде

$$Z(t) = \frac{2}{C_V R} \int_0^t [\delta(t-\tau) + F(t-\tau)] \xi_{qr}(\tau) d\tau, \quad (57)$$

где резольвента  $F(t-\tau)$  определяется рекуррентным соотношением

$$F(t-\tau) = \sum_{n=1}^{\infty} F_n(t-\tau). \quad (58)$$

Здесь

$$F_1(t-\tau) = \frac{R^2}{4\chi} \frac{1}{(t-\tau)^2}, \quad (59)$$

$$F_n(t-\tau) = \int_{\tau+\delta t}^{t-\delta t} F_1(t-s) F_{n-1}(s-\tau) ds, \quad n > 1. \quad (60)$$

Указанное выше условие  $\frac{R^2}{\chi} \ll 1$  делает ряд (58) быстроходящимся. При условии  $\frac{R^2}{\chi} \ll \delta t$  (цилиндрические поверхности малого радиуса, или тонкие нити), вторым и последующими слагаемыми ряда (58) можно пренебречь по сравнению с первым, и окончательно получим

$$F(t - \tau) = \frac{R^2}{4\chi} \frac{1}{(t - \tau)^2}. \quad (61)$$

**Статистические характеристики.** Исходное интегральное уравнение (57) для случая резольвенты  $F(t - \tau)$  вида (61) позволяет найти любые статистические характеристики процесса  $Z(t)$ , если воспользоваться разработанным в [9] методом описания немарковских случайных процессов, задаваемых линейными интегральными преобразованиями. Так, для одномерной  $g_1(\lambda; t)$  и многомерных  $g_L(\lambda_1, \dots, \lambda_L; t_1, \dots, t_L)$  характеристических функций процесса  $Z(t)$  при условии, что случайный тепловой поток  $\xi_{qT}(t)$  представляет собой белый шум интенсивности  $\nu$ , получим

$$g_1(\lambda; t) = \exp \left[ -\frac{1}{24} \frac{R^2 \nu \lambda^2}{\chi^2 C_V} \left( \frac{1}{\delta t^3} - \frac{1}{t^3} \right) \right], \quad (62)$$

$$g_L(\lambda_1, \dots, \lambda_L; t_1, \dots, t_L) = \exp \left[ -\frac{1}{24} \frac{R^2 \nu}{\chi^2 C_V} \sum_{\substack{k, l=1, \\ k < l}}^L \frac{\lambda_k \lambda_l}{(t_l - t_k)^2} \left[ \frac{1}{\delta t} + \frac{t_k^2 - t_l^2 + t_l t_k}{t_l t_k (t_l - t_k)} + \frac{2}{t_l - t_k} \ln \frac{t_l \delta t}{t_k (t_l - t_k)} \right] \right]. \quad (63)$$

Графики функций  $g_1(\lambda; t)$ , задаваемых уравнением (62), изображены на рис. 6 для разных значений  $t$ . Здесь и далее в качестве примеров использованы медные цилиндрические тела малого радиуса, помещенные в воду ( $R = 10^{-8}$  м,  $\nu = 10^3$  Дж<sup>2</sup>/(м<sup>4</sup>·с),  $\chi = 2 \cdot 10^{-7}$  м<sup>2</sup>/с,  $C_V = 1,3 \cdot 10^3$  Дж/(К·м<sup>3</sup>)).

Выражения для характеристических функций (62) и (63) позволяют найти любые статистические характеристики процесса  $Z(t)$ . Для математического ожидания  $\langle Z(t) \rangle$  и дисперсии  $D_Z(t)$  процесса  $Z(t)$  из (62) получим

$$\langle Z(t) \rangle = \left. \frac{\partial g_1(\lambda; t)}{i \partial \lambda} \right|_{\lambda=0} = 0, \quad (64)$$

$$D_Z(t) = \langle Z^2(t) \rangle = - \left. \frac{\partial g_1(\lambda; t)}{\partial \lambda^2} \right|_{\lambda=0} = \frac{R^2 \nu}{24 \chi^2 C_V^2} \left( \frac{1}{\delta t^3} - \frac{1}{t^3} \right). \quad (65)$$

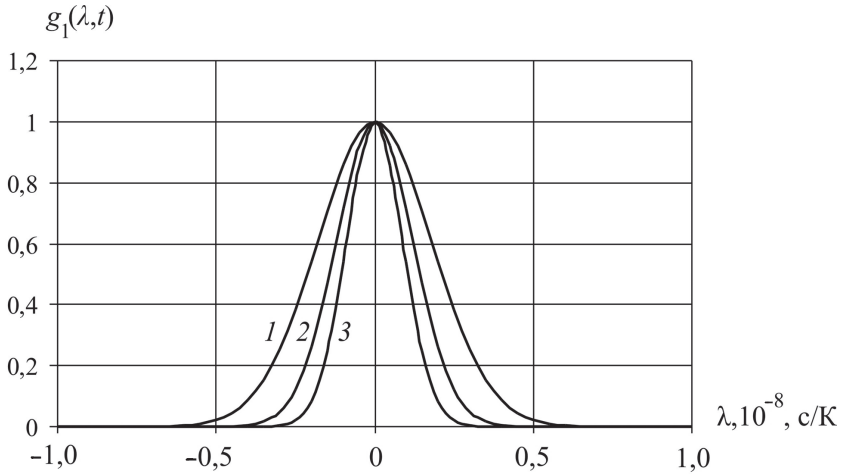


Рис. 6. Графики функций  $g_1(\lambda; t)$  для значений  $t = 10^{-7}$  с (1),  $t = 10^{-6}$  с (2),  $t = \infty$  (3)

Из (26) видно, что установившийся процесс теплопроводности ( $t \rightarrow \infty$ ) сопровождается постоянным значением дисперсии  $D_Z(t)$  скорости изменения температуры цилиндрической поверхности  $Z(t)$ :

$$D_Z(t) \Big|_{t \rightarrow \infty} = \frac{R^2 \nu}{24 \chi^2 C_V^2 \delta t^3}. \quad (66)$$

Для корреляционной функции  $K(t_1, t_2) = \langle Z(t_1)Z(t_2) \rangle$  при помощи двумерной характеристической функции  $g_2(\lambda_1, \lambda_2; t_1, t_2)$ , определяемой из (63), получим

$$K(t_1, t_2) = - \left. \frac{\partial g_2(\lambda_1, \lambda_2; t_1, t_2)}{\partial \lambda_1 \partial \lambda_2} \right|_{\substack{\lambda_1=0 \\ \lambda_2=0}} = \frac{1}{48} \frac{R^2 \nu}{\chi^2 C_V^2} \frac{1}{(t_2 - t_1)^2} \left[ \frac{1}{\delta t} + \frac{t_1^2 - t_2^2 + t_1 t_2}{t_1 t_2 (t_2 - t_1)} + \frac{2}{t_2 - t_1} \ln \frac{t_2 \delta t}{t_1 (t_2 - t_1)} \right]. \quad (67)$$

Из зависимости (67) следует, что при  $t_1 \rightarrow \infty$ ,  $t_2 \rightarrow \infty$  (установившийся процесс теплопроводности) корреляционная функция  $K(t_1, t_2) = K(t_2 - t_1) = K(\tau)$  принимает вид

$$K(\tau) = \frac{1}{48} \frac{R^2 \nu}{\chi^2 C_V^2} \frac{1}{\tau^2} \left[ \frac{1}{\delta t} + \frac{1}{\tau} + \frac{2}{\tau} \ln \frac{\delta t}{\tau} \right]. \quad (68)$$



Графики функций  $K(t - \tau, t)$ , задаваемых соотношением (67), изображены на рис. 7 для различных значений параметра  $t$ .

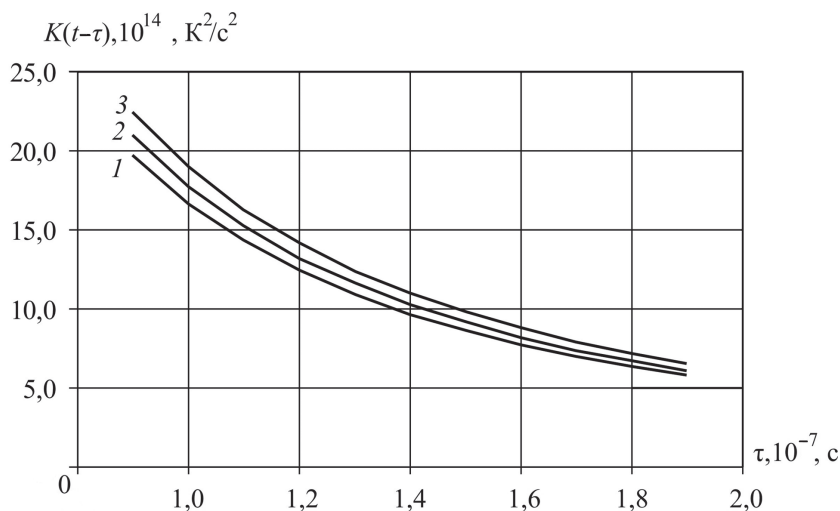


Рис. 7. Графики функций  $K(t - \tau, t)$  для значений  $t = 10^{-7} \text{ с}$  (1),  $t = 10^{-6} \text{ с}$  (2),  $t = 1 \text{ с}$  (3)

Найденная корреляционная функция (28) позволяет найти одно-стороннюю спектральную плотность процесса  $Z(t)$ :

$$G_Z(\omega, t) = 2 \int_0^t K(t - \tau, t) \cos \omega \tau d\tau. \quad (69)$$

На рис. 8 представлен результат численного вычисления одно-сторонней спектральной плотности  $G_Z(\omega, t)$  с помощью формулы (69) для различных значений времени  $t$ . В частном случае малых значений  $\omega$  и не очень больших  $t$  из (67) и (68) при учете условия  $\delta t \ll t$  получим

$$\begin{aligned} G_Z(\omega, t) \Big|_{\omega \rightarrow 0} &= 2 \int_0^t K(t - \tau, t) \left( 1 - \frac{\omega^2 \tau^2}{2} \right) d\tau = \\ &= \frac{1}{48} \frac{R^2 \nu}{\chi^2 C_\nu^2} \frac{t}{\delta t} \left( \frac{4}{t \delta t} - \omega^2 \right). \end{aligned} \quad (70)$$

Согласно определению для одномерной функции плотности вероятности  $p(Z; t)$  запишем

$$\begin{aligned} p(Z, t) &= \frac{1}{2\pi} \int_{-\infty}^{\infty} g_1(\lambda; t) \exp(-i\lambda Z) d\lambda = \\ &= \sqrt{\frac{1}{2\pi D(t)}} \exp\left(-\frac{Z^2}{2D(t)}\right). \end{aligned} \quad (71)$$

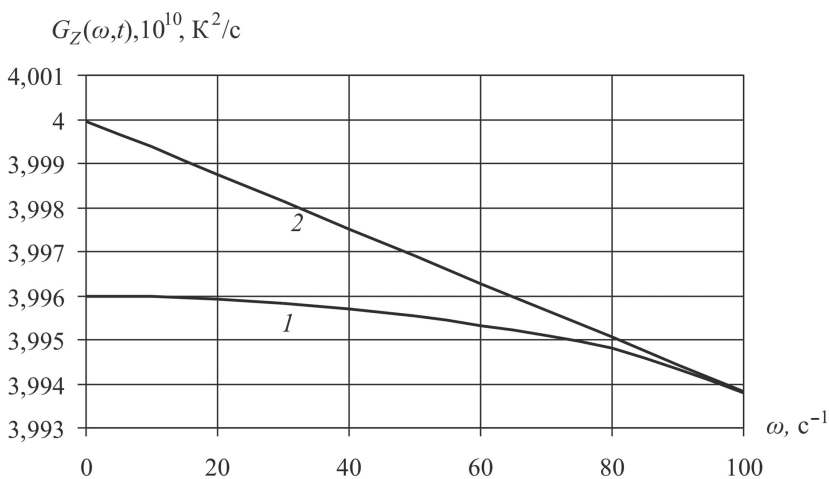


Рис. 8. Графики односторонней спектральной плотности  $G_z(\omega, t)$  для значений времени  $t = 0,01 \text{ c}$  (1) и  $t = 1 \text{ c}$  (2)

График на рис. 9 отображает зависимость (71) для различных  $t$ . Хорошо видно, что с течением времени график плотности вероятности флуктуаций величины  $Z(t)$  «размазывается» вдоль оси  $Z$ , стремясь к стационарной гауссовой кривой при  $t \rightarrow \infty$ .

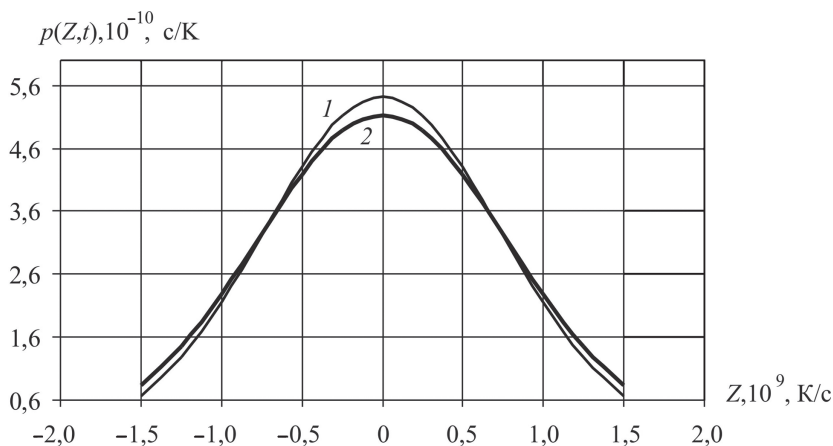


Рис. 9. Зависимость плотности вероятности  $p(Z, t)$  для  $t = 10^{-7} \text{ c}$  (1) и  $t = 10^{-6} \text{ c}$  (2)

**Выводы.** Рассмотрение процесса распространения тепла даже в случае относительно простых моделей микрочастиц сферической и цилиндрической форм, находящихся в безграничной среде, требует для статистического описания изменений соответствующих физических величин применения интегральных стохастических уравнений, а сами флуктуации величин следует рассматривать как немарковские случайные процессы. Полученные результаты могут найти применение

ние при исследовании теплопроводности твердых тел со сферической и цилиндрической симметрией, при изучении законов остывания тел и др.

## СПИСОК ЛИТЕРАТУРЫ

1. Пугачев В. С., Синицын И. Н. Стохастические дифференциальные системы. – М.: Наука, 1990. – 632 с.
2. Могозов А. N., Skripkin A. V. Spherical particle Brownian motion in viscous medium as non-Markovian random process // Physics Letters A. – 2011. – Vol. 375. – P. 4113–4115.
3. Морозов А. Н., Скрипкин А. В. Статистическое описание осциллятора, находящегося под воздействием флуктуирующего коэффициента трения // Вестник МГТУ им. Н.Э. Баумана. Сер. Естественные науки. – 2008. – № 2. – С. 3–15.
4. Тихонов А. Н., Самарский А. А. Уравнения математической физики. – М.: Наука, 1977. – 736 с.
5. Вольтерра В. Теория функционалов, интегральных и интегро-дифференциальных уравнений. – М.: Наука, 1982. – 304 с.
6. Морозов А. Н. Необратимые процессы и броуновское движение. – М.: Изд-во МГТУ им. Н.Э. Баумана, 1997. – 332 с.
7. Верлань А. Ф., Сизиков В. С. Интегральные уравнения: методы, алгоритмы, программы. – Киев: Наукова думка, 1986. – 542 с.
8. Вибрации в технике. Справочник. Т. 1. – М.: Машиностроение, 1978. – 560 с.
9. Морозов А. Н. Метод описания немарковских процессов, задаваемых линейным интегральным преобразованием // Вестник МГТУ им. Н.Э. Баумана. Сер. Естественные науки. – 2004. – № 3. – С. 47–56.
10. Никифоров А. Ф., Уваров В. Б. Специальные функции математической физики. М.: Наука, 1984.
11. Морозов А. Н., Скрипкин А. В. Применение интегральных преобразований для описания броуновского движения как немарковского случайного процесса // Известия вузов. Физика. – 2009. – № 2. – С. 66–74.

Статья поступила в редакцию 30.05.2012